

# Diagnostische workflow van CMML

Critically appraised topic

Auteur: Tomas Gajdos

Supervisoren: Dr. Claeys, dr. Peeters en dr. Hendrickx

---

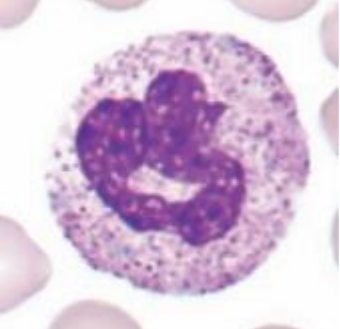
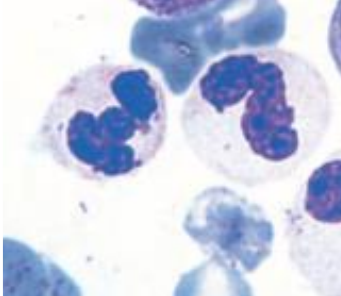


# Inhoud

- **Inleiding**
  - Monocytose
  - Morfologie
  - WHO classificatie CML
  - Moeilijkheden bij diagnose
- **Onderzoeks vragen**
- **Conclusie**
- **To do**

# Monocytose

Reactief vs. neoplastisch

Reactief	Neoplastisch
Transiënt	Persisterend
Mature monocyten	Promonocyten (+ blasten)
Reactieve veranderingen	Dysplasie
	
Toxische korreling Döhle bodies Vacuolisatie	Hypogranulatie Bizarre kernvormen Aberrante kernsegmentatie ...

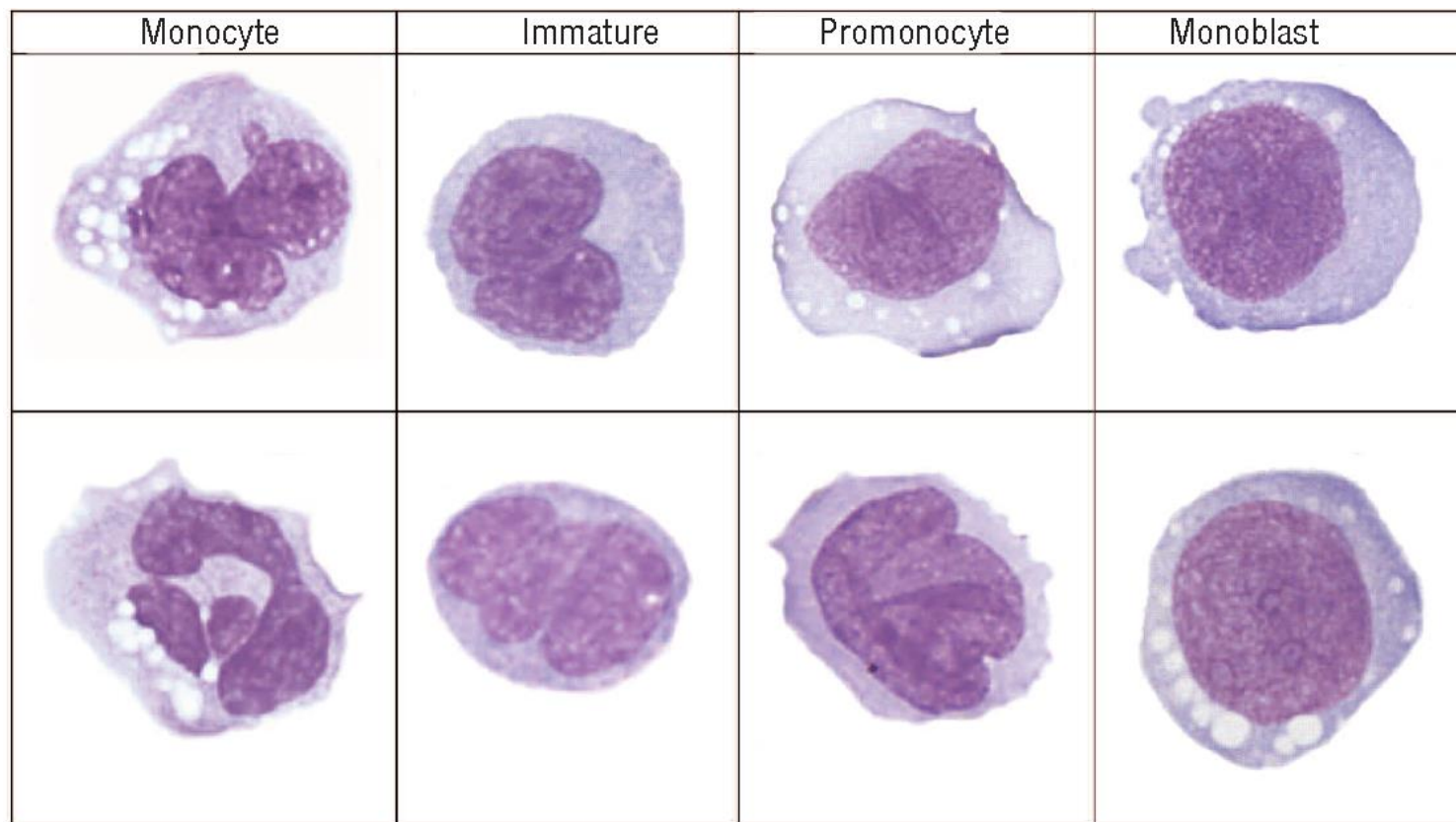
# Monocytose

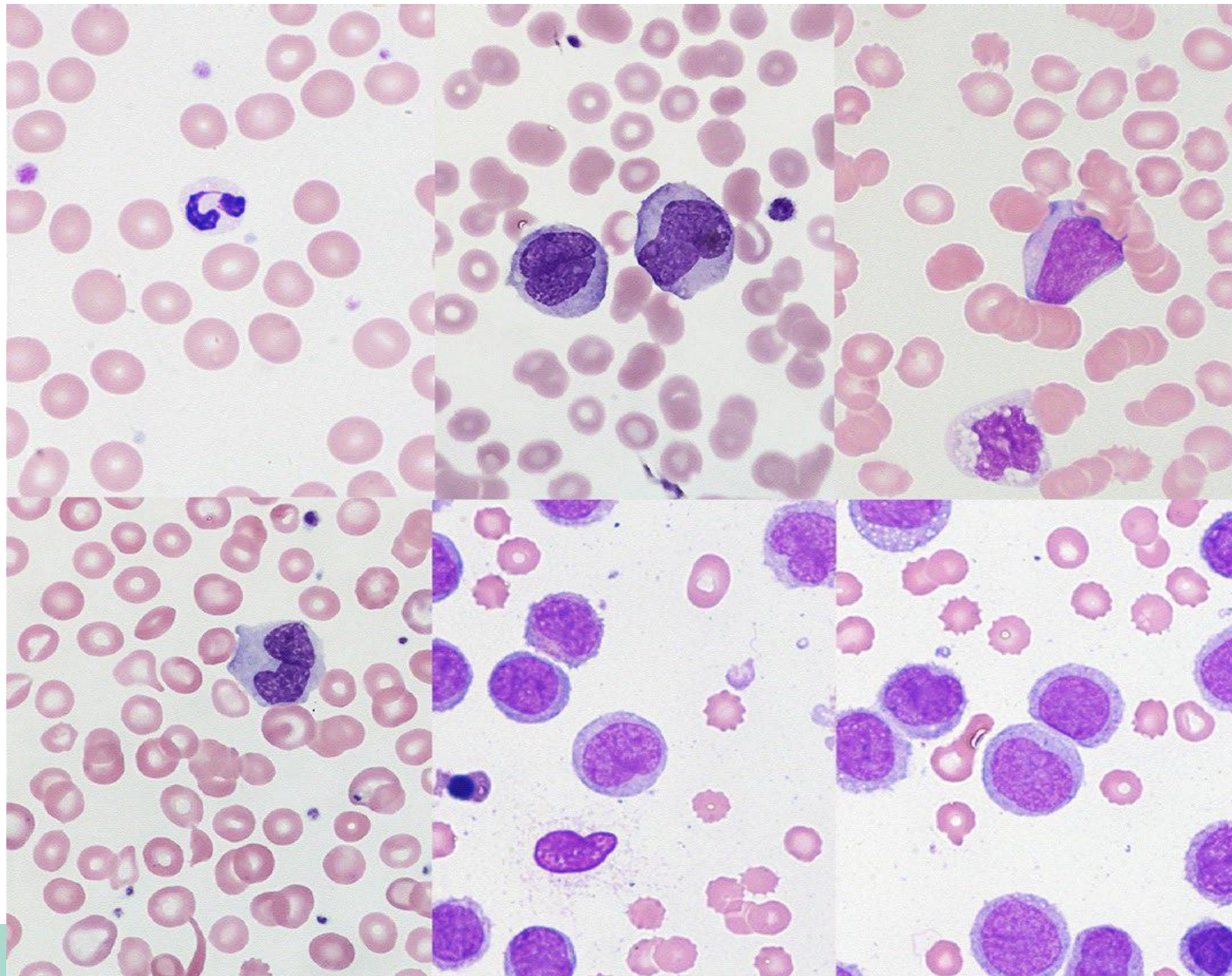
## Oorzaken

Reactief	Neoplastisch
Virale infectie	CMMI
Chronische ontsteking	JMML
Auto-immuun pathologie	aCML
Chronische leverziektes	AML
...	...

# Monocytose

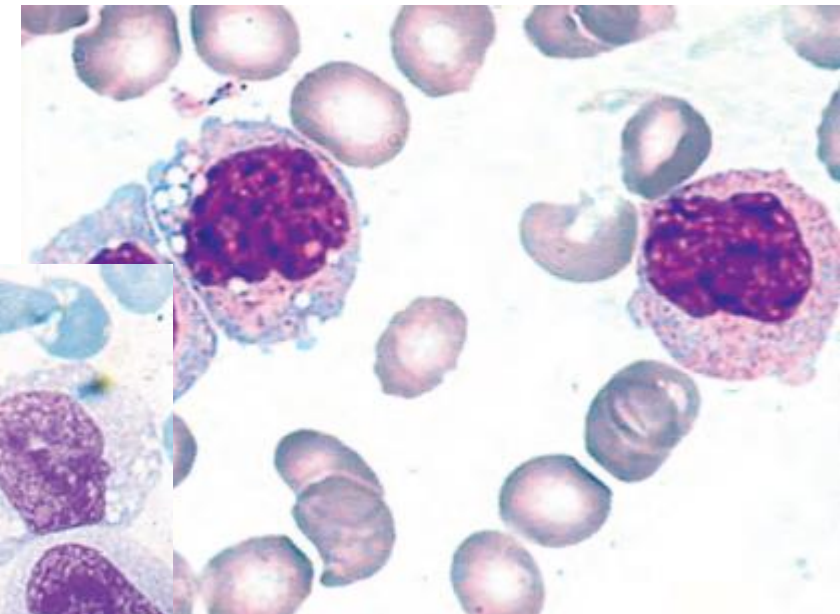
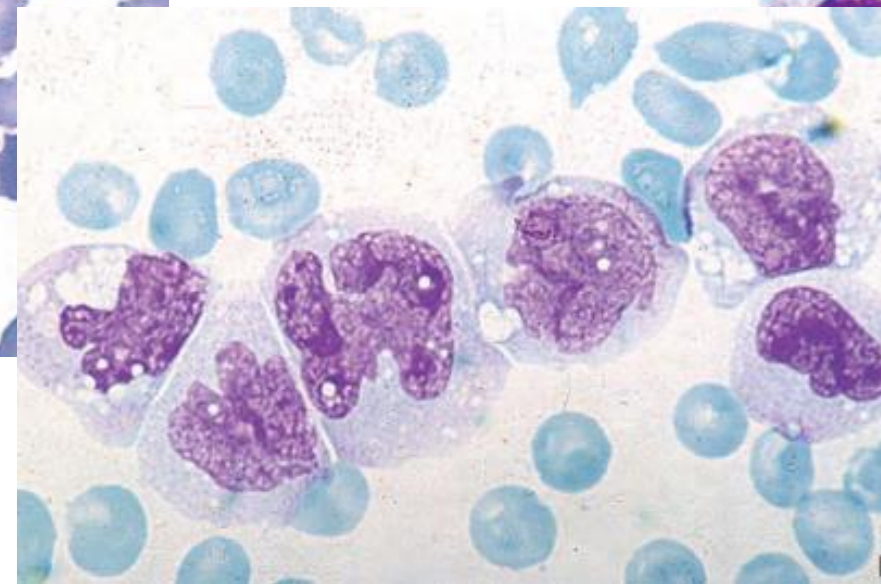
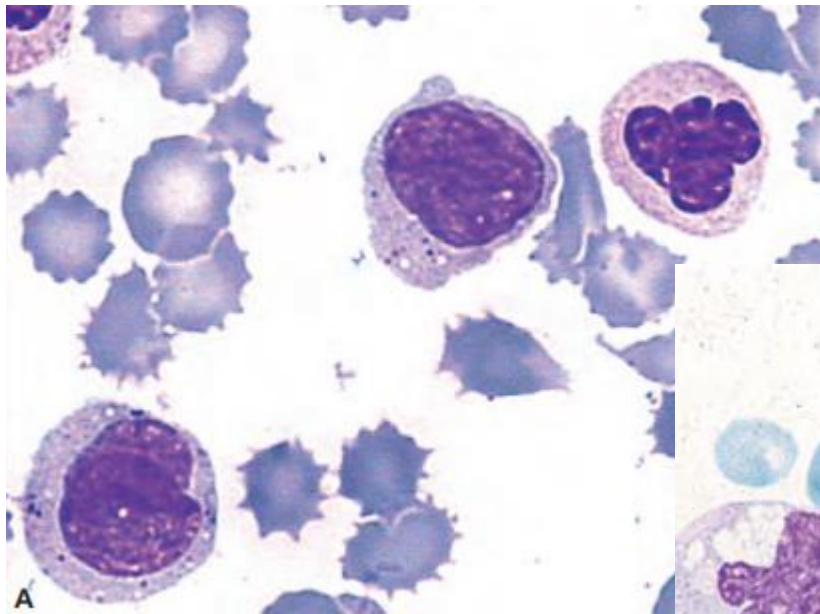
## Morfologie





# CMML

## Morfologie



# 2016 WHO classificatie

CMML

Persisterende monocytose  $\geq 1 \times 10^9/L$  en  $\geq 10\%$  van de WBC

+

Geen BCR-ABL1, geen PDGFRA, PDGFRB of FGFR1, geen PCM-JAK2, ETV6-JAK2 of BCR-JAK2 **EN** geen WHO criteria voor PV, ET en PMF

+

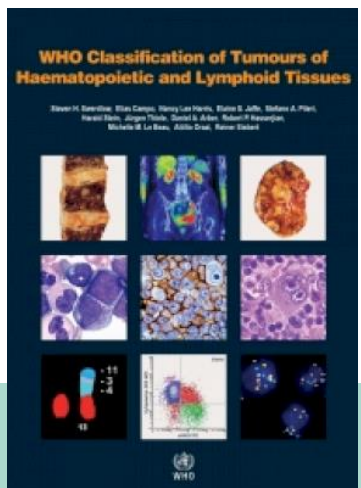
<20% blasten en promonocyten in PB of BM

+

Dysplasie in  $\geq 1$  myeloide reeksen

**OF**

klonale cytogenetisch of moleculaire afwijkingen **OF**  
monocytose  $\geq 3$  maanden met uitsluiting van andere oorzaken



# 2016 WHO classificatie

## CMML

- CMML-0: <2% blasten in PB en <5% blasten in BM
- CMML-1: 2-4% blasten in PB en 5-9% blasten in BM
- CMML-2: 5%-19% blasten in PB en 10%-19% blasten in BM OF  
aanwezigheid van Auerstaven

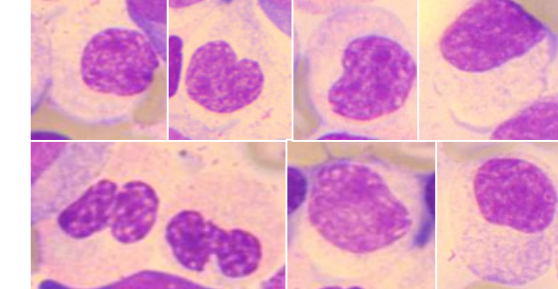
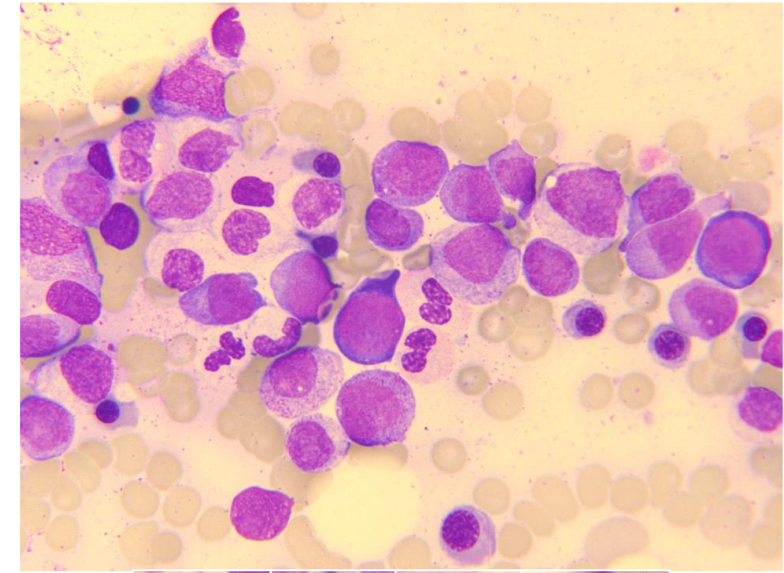
# Moeilijkheden

## Diagnose

- Dysplasie is niet in elke cellijn.
- Promonocyten zijn moeilijk te identificeren.
- Moeilijk onderscheid:  
dysplastische hypogranulaire myeloide cellen vs. monocyten.
- Blasten zijn zeldzaam (80% van de gevallen afwezig)



Mono-dysplasie score

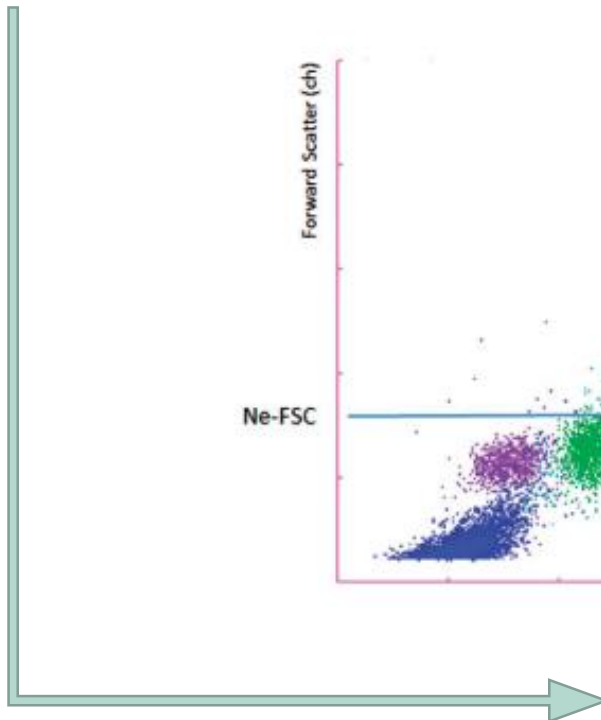


# Mono-dysplasie score

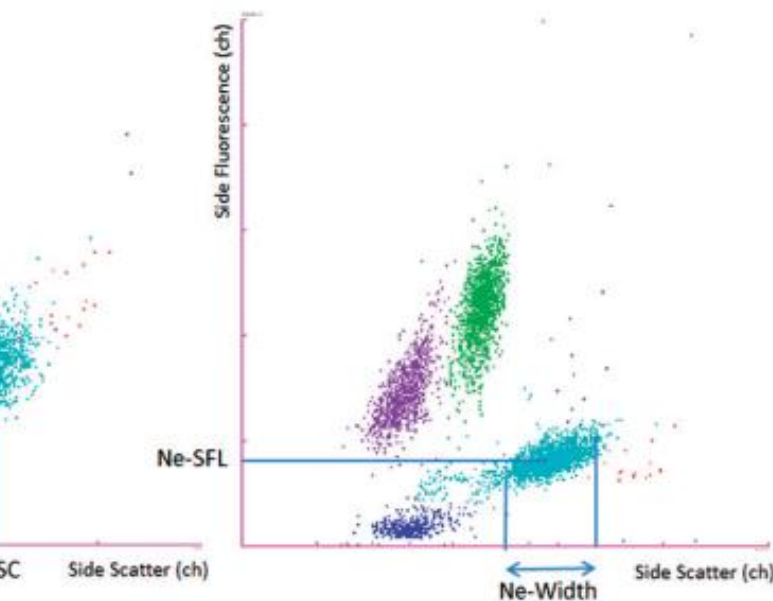
(Cfr. Schillinger et al)

- Formule: 
$$\frac{1}{1+e^{(-11,623+0,026*Ne-WX-1,385*\frac{Ne}{Mo}+2,714*AbsMono)}}$$

- >0,160 = positief
- Gestandardiseerd
- Operator onafhankelijk
- Onmiddellijk berekend



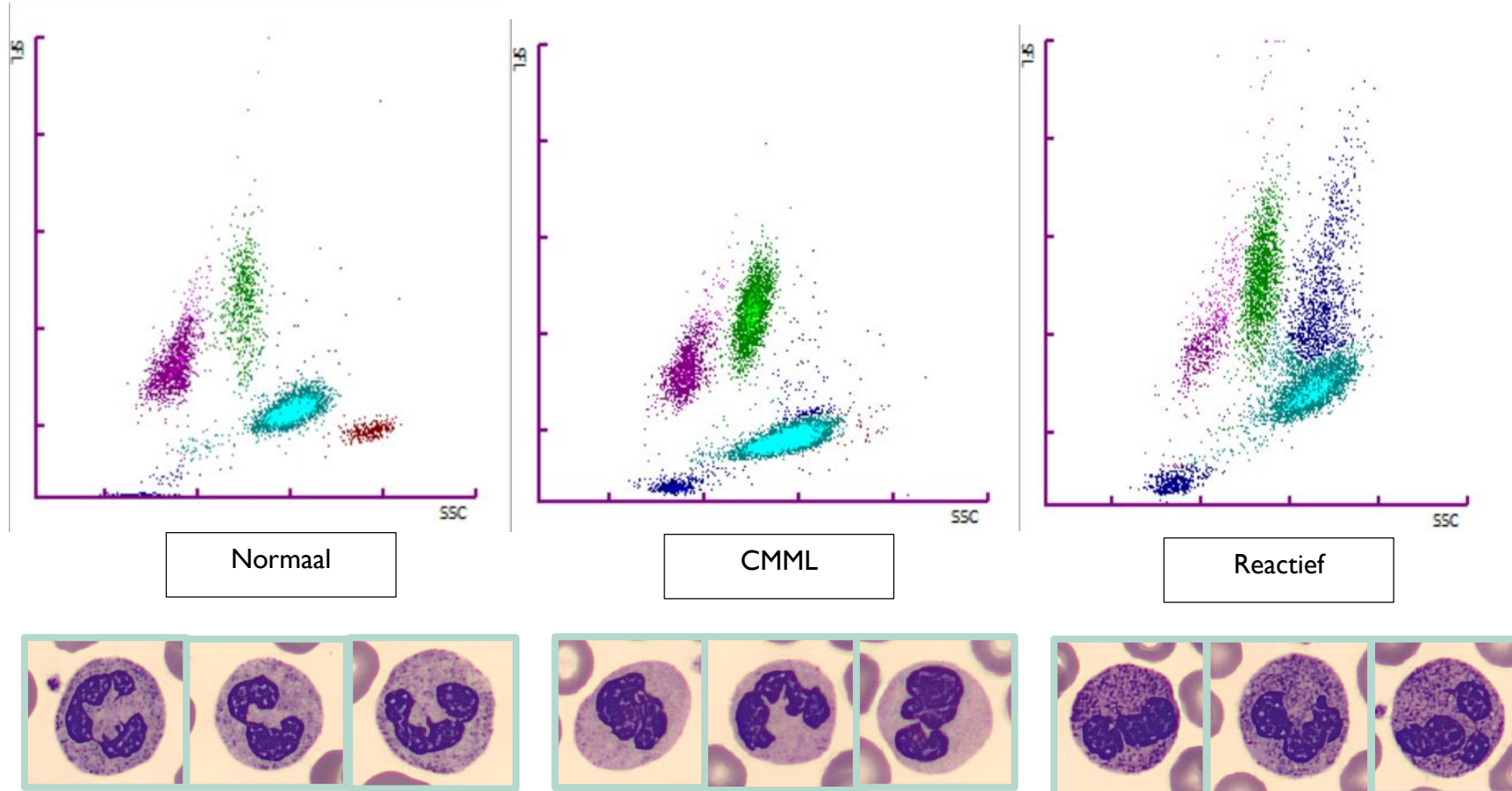
Sensitiviteit	specificiteit
92,3%	93,6%



$$Ne-WX = \frac{Ne-Width}{Ne-SSC} \times 100$$

# Mono-dysplasie score

WDF-kanaal



# Monocytose vlaggen

## Morfologie

Totaal = 202	Monodysplasie-score positief (n=124)		Twijfelachtige monocytose (n=64)		Extreme monocytose (n=14)	
	aantal uitstrijkjes	percentage	aantal uitstrijkjes	percentage	aantal uitstrijkjes	percentage
Toxische korreling	24	19,4	26	40,6	4	28,6
Hypersegmentatie neutrofielen	8	6,5	0	0,0	1	7,1
Döhle bodies	0	0,0	0	0,0	1	7,1
Degranulatie neutrofielen	21	16,9	8	12,5	1	7,1
Neutrofielen kernafwijking	16	12,9	11	17,2	2	14,3
Vacuolisatie neutrofielen	2	1,6	1	1,6	0	0,0
Jonge monocyten	1	0,8	2	3,1	0	0,0
Dysplastische kenmerken	29	23,4	14	21,9	2	14,3
Diagnose CML	14	11,3	4	6,3	0	0,0

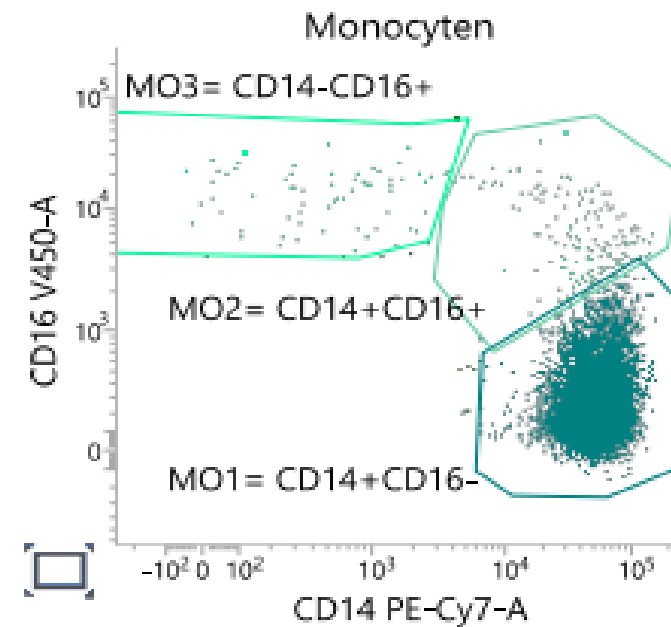
	aantal uitstrijkjes	percentage
Dysplasie + CML	7	38,9
Afwezigheid dysplasie + CML	11	61,1
Totaal	18	100

# Flowcytometrie

Doel CMML panel (cfr. **Selimoglu-Buet et al**)

- Drie populaties monocyten in perifeer bloed:

1. **Klassieke monocyten** (CD14+/CD16-)
2. **Intermediaire monocyten** (CD14+/CD16+)
3. **Niet klassieke monocyten** (CD14-/CD16+)



→ >94% = indicatie voor CML: Onafhankelijk van mutaties, subtype, of van dysplasie vs. proliferatieve eigenschappen

Sensitiviteit	specificiteit
90,6%	95,1%

# Flowcytometrie

Oud vs. nieuw panel

Oud	HV450	HV500	FITC	PE	PerCP-Cy5.5	PE-Cy7	APC	APC-H7
CML	<b>CD14</b> 2.5 µL	<b>CD45</b> 2.5 µL	<b>CD16</b> 10 µL	<b>CD56</b> 10 µL	<b>CD2</b> 10 µL	<b>CD15</b> 1 µl	<b>CD33</b> 2.5 µL	<b>CD24</b> 1 µl



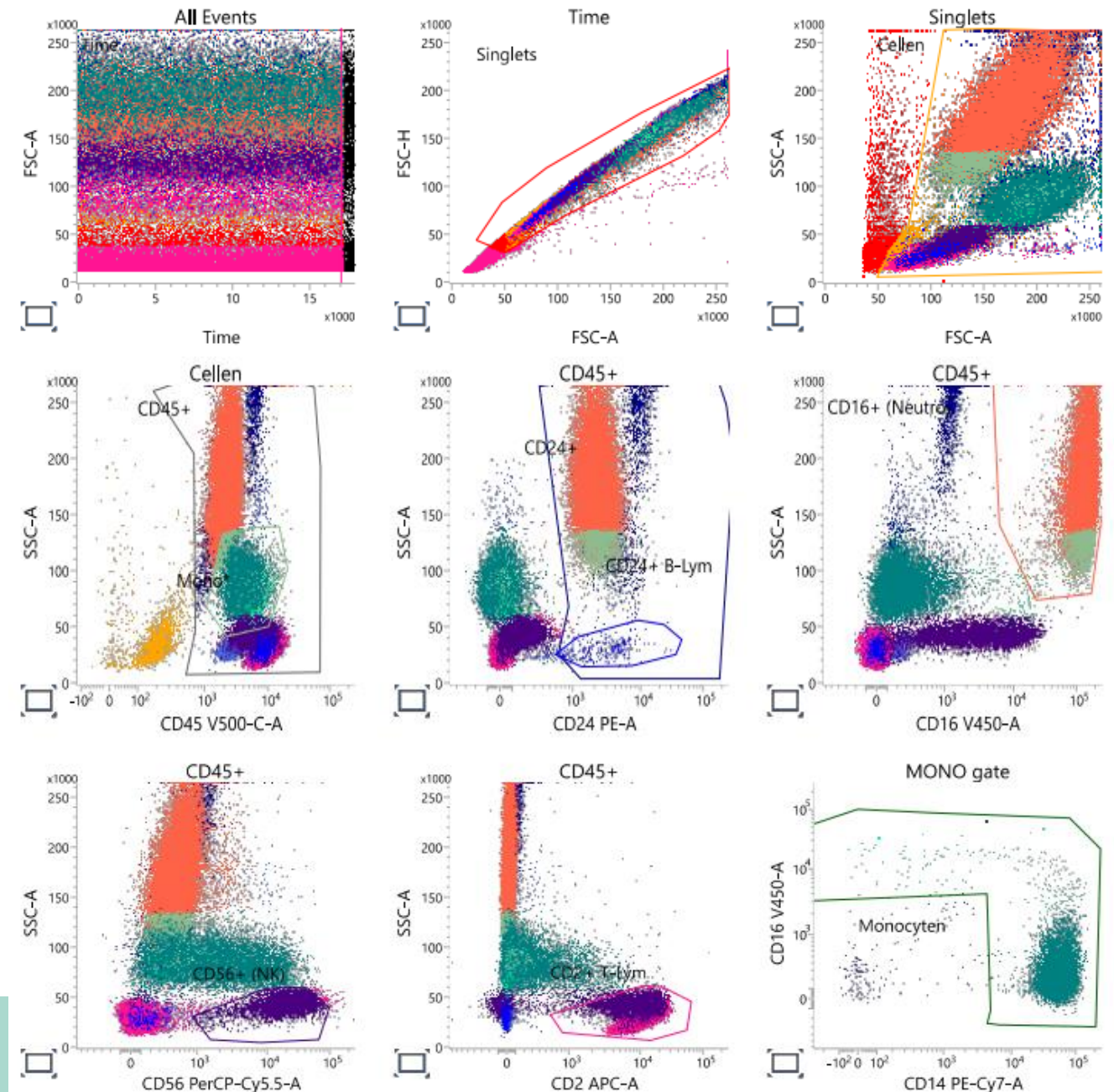
Nieuw	PE	PERCP Cy5.5	PE Cy7	APC	V450	V500-C
CML	<b>CD24</b> 5 µl	<b>CD56</b> 2.5 µl	<b>CD14</b> 2.5 µl	<b>CD2</b> 2.5 µl	<b>CD16</b> 2.5 µl	<b>CD45</b> 2.5 µl



# Flowcytometrie

## Gatingstrategie

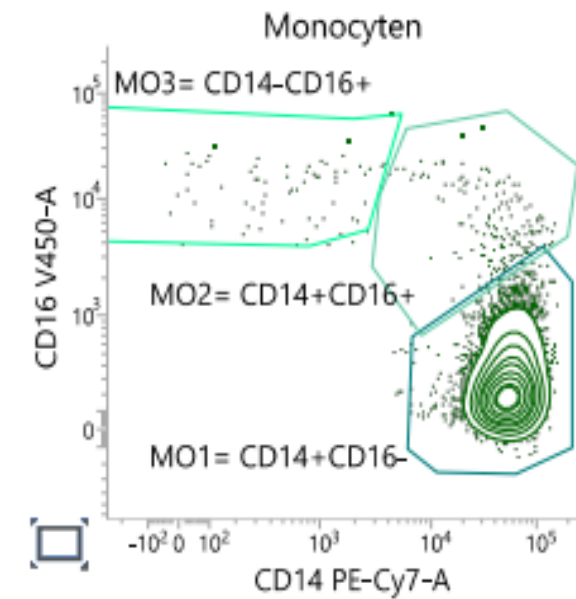
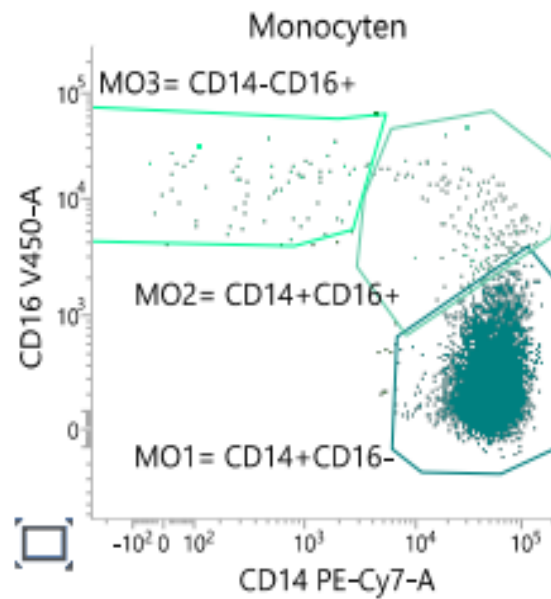
- Hoofdoel: Monocyten opzuiveren
  - CD24: neutrofielen en B-lymfocten
  - CD16: rijpe granulocyten
  - CD56: NK-cell
  - CD2: T- en NK-lymfocten



# Flowcytometrie

## Gatingstrategie

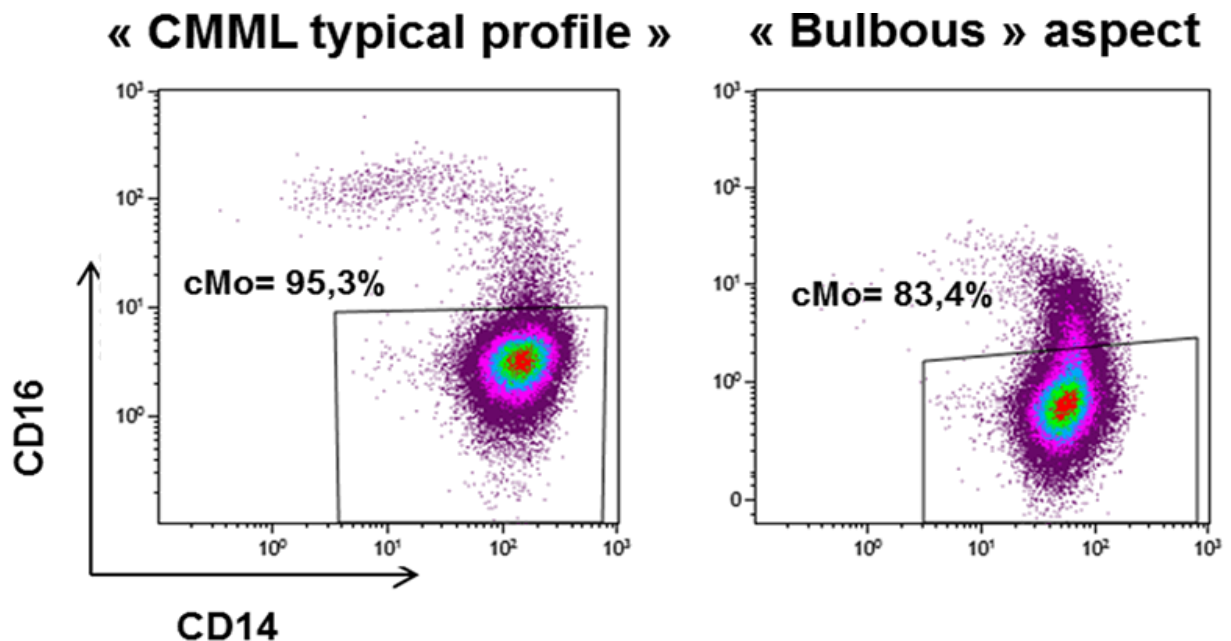
- CD16/CD14 (**MONOCYTEN**)
  - Contour plot:
  - Relatieve frequentie van data
  - Betere visualisatie
  - Expressie patronen & clusters



# Flowcytometrie

## Pittfalls

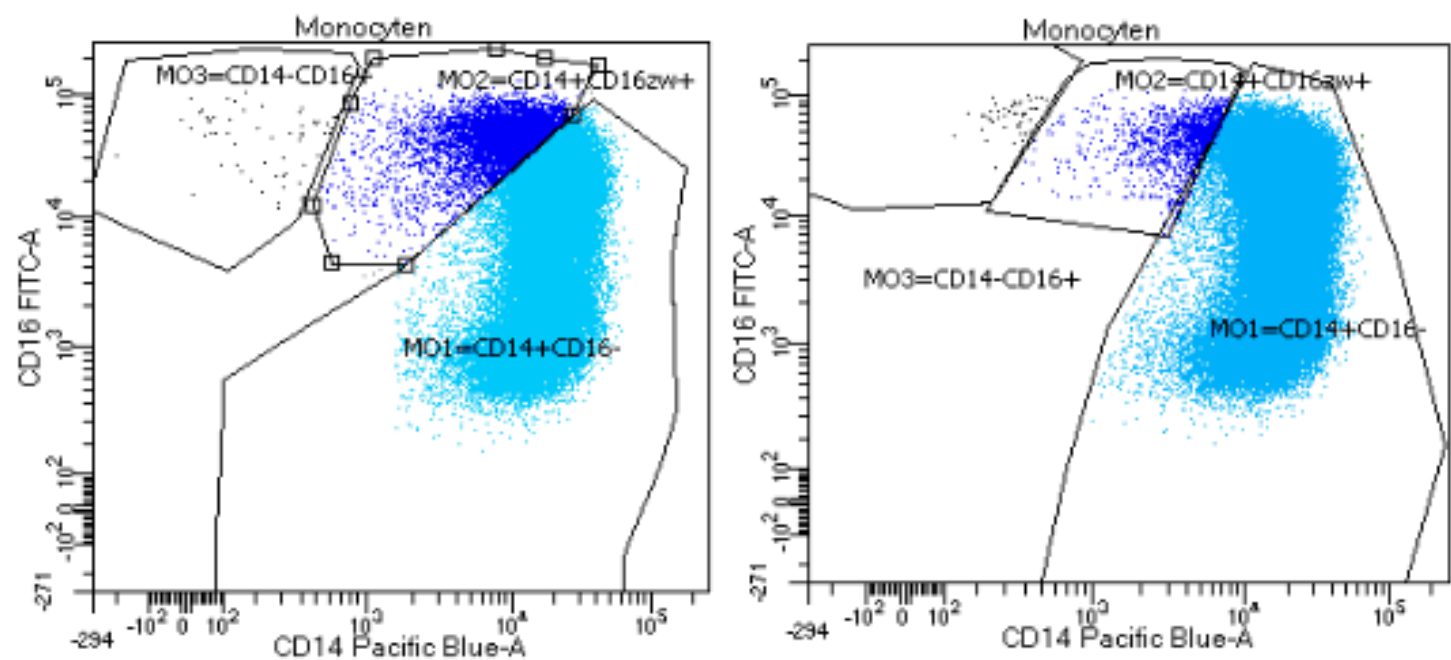
- CMML + reactief:
  - ↓ klassieke monocytenpopulatie
  - Traanvormig aspect
  - Ontbreken van CD16+ staart



# Flowcytometrie

## Pittfalls

- Slecht afgelijnde populaties
  - Dot plot als hulpmiddel

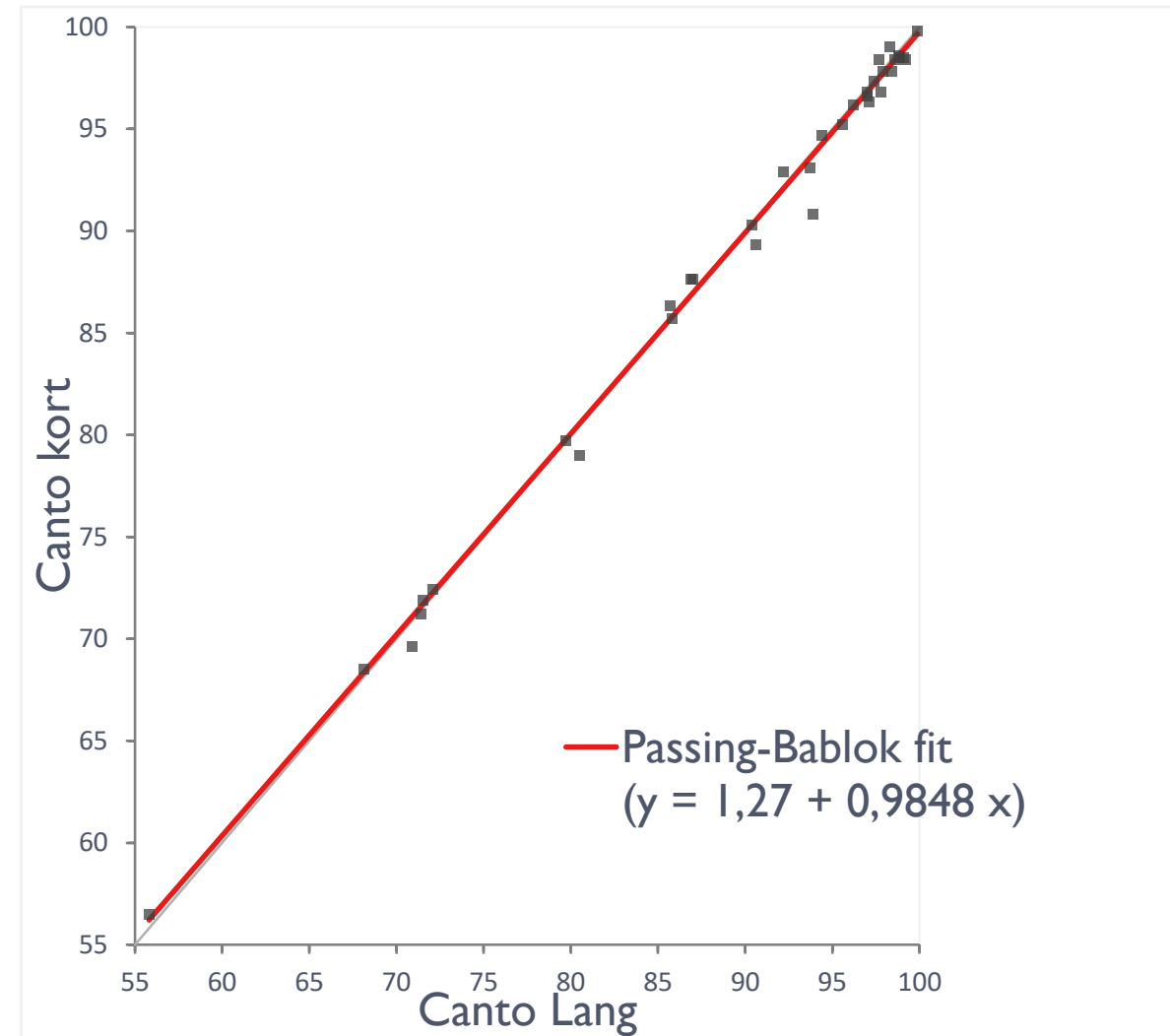


# Flowcytometrie

Oud vs. nieuw panel

- 35 stalen
  - 20 CML
  - 15 reactioneel

Correlatie	Passing Bablok	Gem% verschil
0,99	$Y = 1,27 + 0,9848X$	-0,23



# Flowcytometrie

Oud vs. nieuw panel

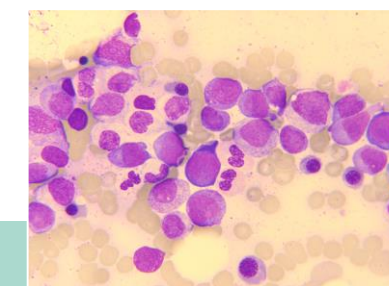
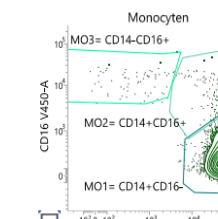
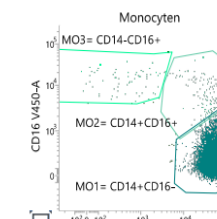
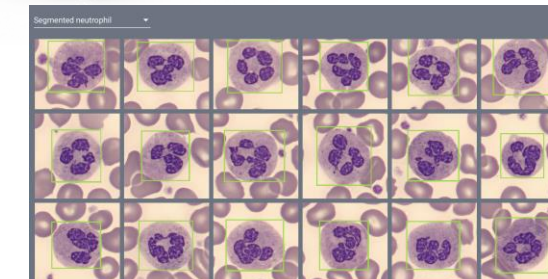
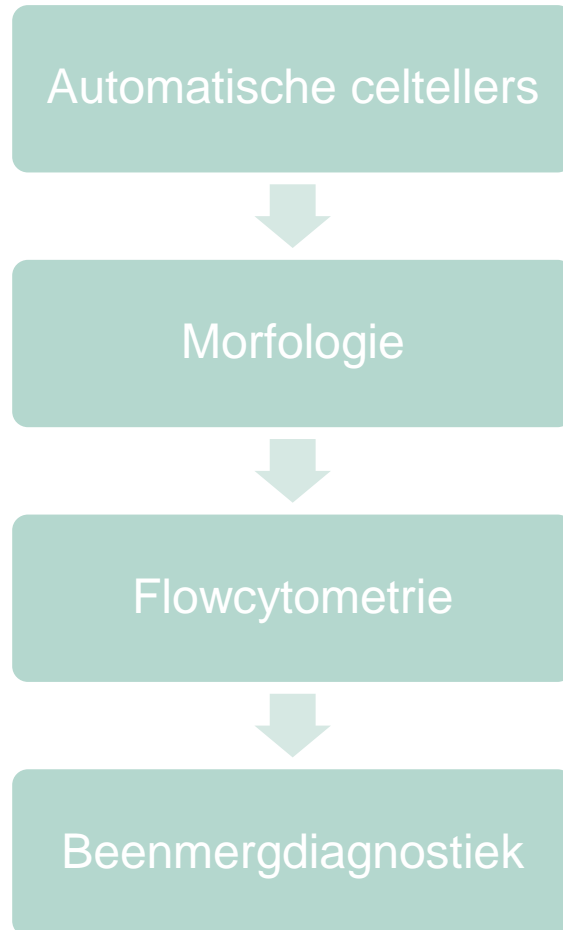
Canto	Bevestigde diagnose NGS/APO/Andere		Totaal
	Positief	Negatief	
MO1 (CD14+,CD16-) ≥ 94%	22	3	25
MO1 (CD14+,CD16-) < 94%	1	30	31
Totaal	23	33	56

Diagnostische specificiteit	90,9
Diagnostische sensitiviteit	95,7
Positieve predictieve waarde	88,0
Negatieve predictieve waarde	96,8

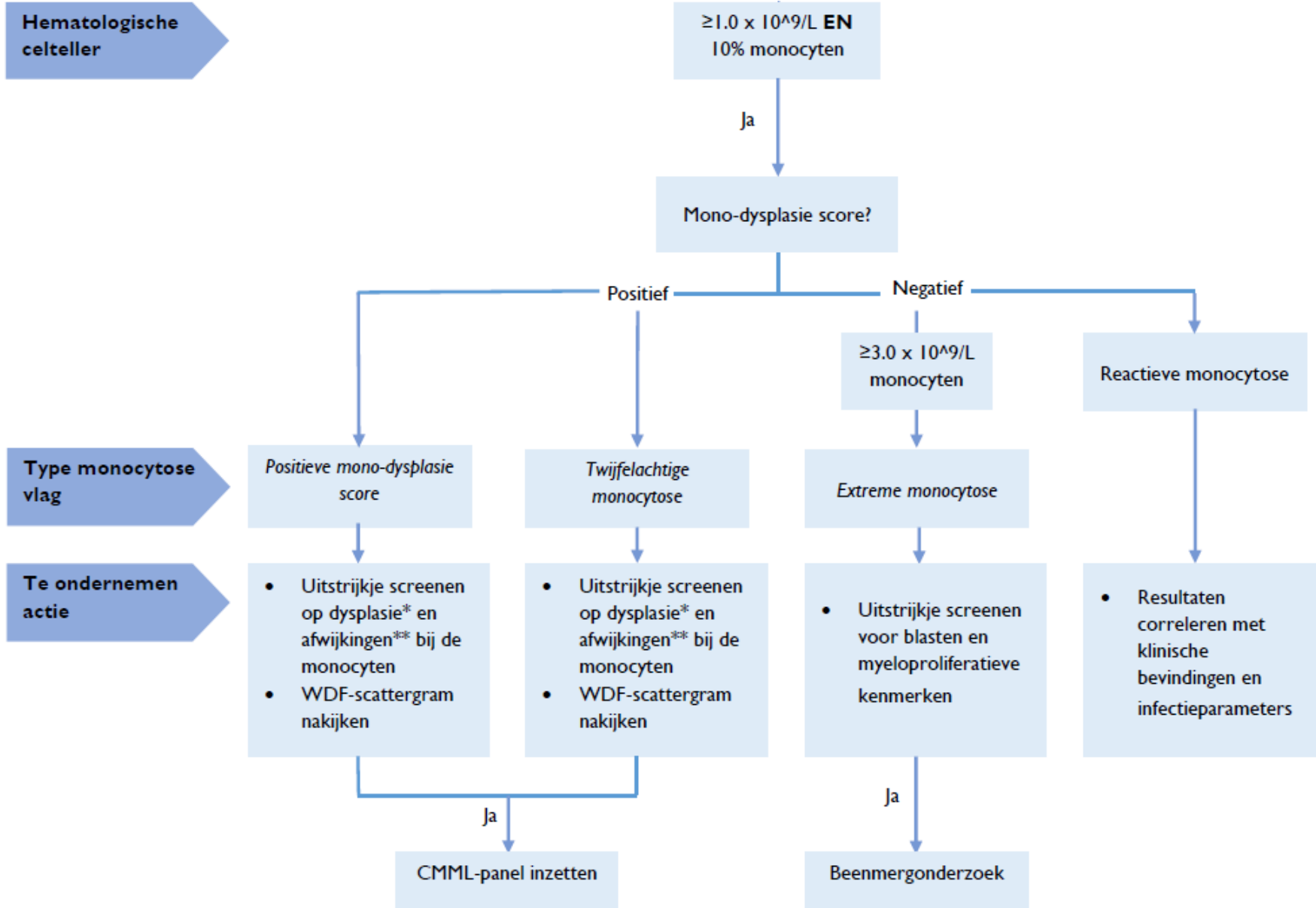
<b>merkers oud panel</b>	<b>kleur</b>	<b>firma</b>	<b>Kloon</b>	<b>cataloognr</b>	<b>Prijs/stuk</b>	<b>#testen/stuk</b>	<b>prijs per test</b>
<b>CD45</b>	HV500	BD Biosciences	HI30	560777	360,99	100	1,8
<b>CD24</b>	APC-Vio770	Miltenyi Biotec	REA832	I30-I12-659	308	100	1,54
<b>CD2</b>	PerCP-Cy5,5	BD Biosciences	RPA-2.10	560643	181,44	50	7,26
<b>CD56</b>	PE	BD Biosciences	MY31	345810	286,65	100	1,43
<b>CD33</b>	APC	BD Biosciences	P67.6	345800	345,35	100	1,73
<b>CD15</b>	PE-Vio770	Miltenyi Biotec	VIMC6	I30-I14-012	131	30	2,18
<b>CD16</b>	FITC	BD Biosciences	CLB	656146	243,65	50	2,44
<b>CD14</b>	HV450	BD Biosciences	MφP9	560350	147,52	177,76	2,46
						<b>TOTAAL</b>	<b>20,84 €</b>
<b>merkers nieuw panel</b>	<b>kleur</b>	<b>firma</b>	<b>Kloon</b>	<b>cataloognr</b>	<b>Prijs/stuk</b>	<b>#testen/stuk</b>	<b>prijs per test</b>
<b>CD45</b>	V500-C	BD Biosciences	2D1	655873	378,11	200	1,89
<b>CD24</b>	PE	BD Biosciences	ALB9	306069	550,6	400	1,38
<b>CD2</b>	APC	BD Biosciences	39C1.5	304608	517,38	100	1,29
<b>CD56</b>	PerCP Cy5.5	BD Biosciences	N901	B49189	512,96	200	2,56
<b>CD16</b>	V450	BD Biosciences	3G8	644489	371,96	100	1,86
<b>CD14</b>	PE-Cy7	BD Biosciences	RM052	147220	544,04	60	1,36
						<b>TOTAAL</b>	<b>10,35 €</b>

# Diagnostische workflow

CMMI



## Hematologische celsteller



**Te ondernemen  
actie**

- Uitstrijkje screenen op dysplasie\* en afwijkingen\*\* bij de monocyten
- WDF-scattergram nakijken
- Uitstrijkje screenen op dysplasie\* en afwijkingen\*\* bij de monocyten
- WDF-scattergram nakijken

**Flowcytometrie**

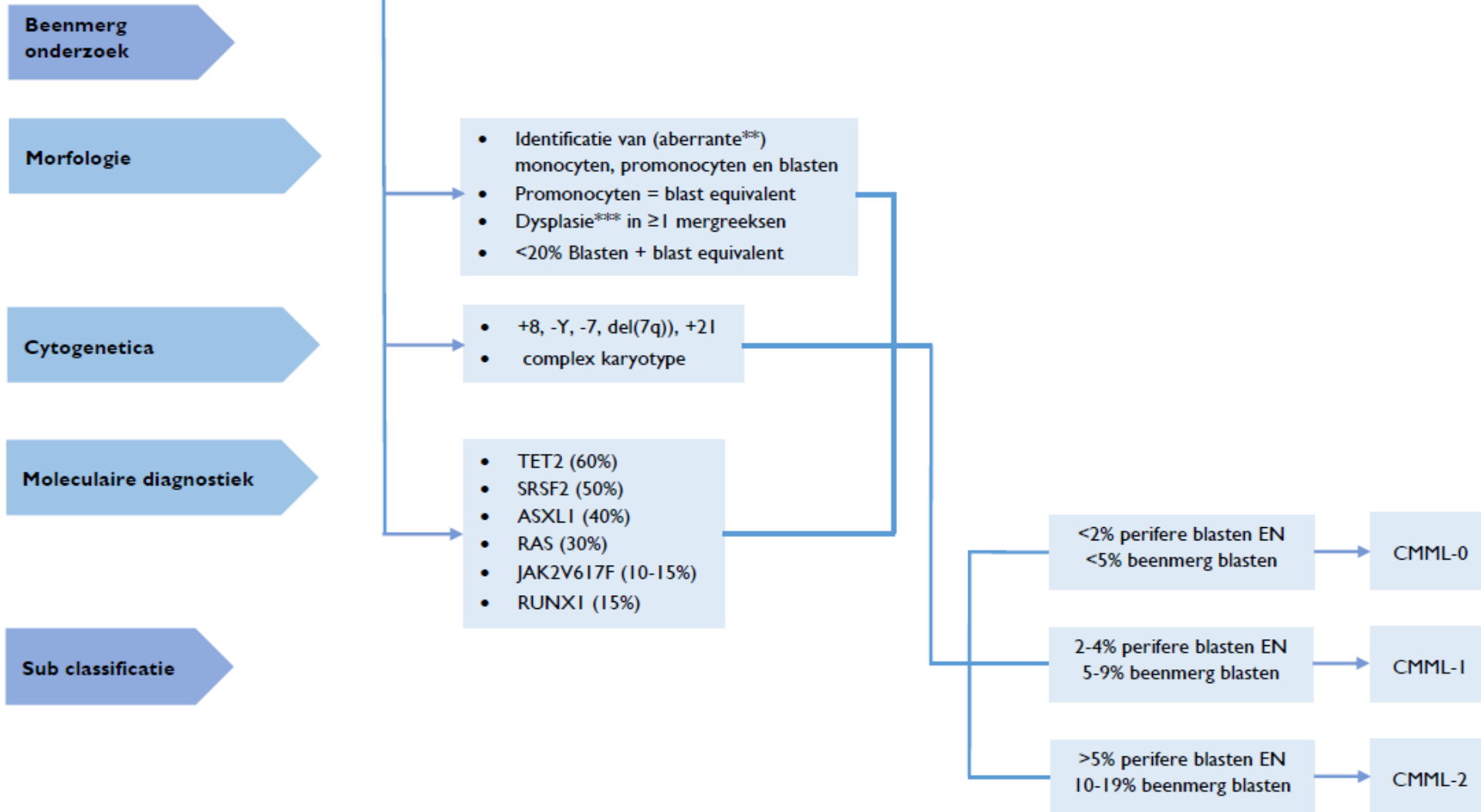
CMMI-panel inzetten

MOI>94%

Suggestief CMMI

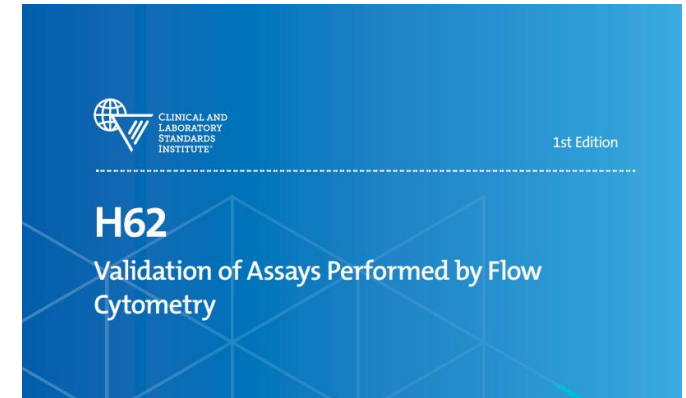
MOI<94%

Reactief?



# To do

- Workflow toepassen + herevaluieren
- MLT's bijscholen:
  - Nieuwe monoklonale antistoffen
  - Gating strategie
  - Pitfalls
- Validatie CMMI-panel volgens CLSI H62-document



# Referenties

1. Valent P, Orazi A, Savona MR, Patnaik MM, Onida F, Van De Loosdrecht AA, et al. Proposed diagnostic criteria for classical chronic myelomonocytic leukemia (CMML), CMML variants and pre-CMML conditions. *Haematologica*. 2019;104(10):1935–49.
2. [http://www.islh.org/web/consensus\\_rules.php](http://www.islh.org/web/consensus_rules.php)
3. Geneviève, F., Mercier-Bataille, D., Wagner-Ballon, O., Trimoreau, F., Fenneteau, O., Schillinger, F., Leymarie, V., Girard, S., Settegrana, C., Daliphard, S., Soenen-Cornu, V., Cividin, M., Châtelain, B., Troussard, X., & Bardet, V. (2014). Smear microscopy revision: propositions by the GFHC.
4. Renneville, A., Patnaik, M. M., Chan, O., Padron, E., & Solary, E. (2021). Increasing recognition and emerging therapies argue for dedicated clinical trials in chronic myelomonocytic leukemia. In *Leukemia* (Vol. 35, Issue 10, pp. 2739–2751). Springer Nature. <https://doi.org/10.1038/s41375-021-01330-1>
5. Patnaik, M. M., & Tefferi, A. (2020). Chronic Myelomonocytic leukemia: 2020 update on diagnosis, risk stratification and management. *American Journal of Hematology*, 95(1), 97–115. <https://doi.org/10.1002/ajh.25684>.
6. Hunter, A. M., Zhang, L., & Padron, E. (2018). Current Management and Recent Advances in the Treatment of Chronic Myelomonocytic Leukemia. *Current Treatment Options in Oncology*, 19(12). <https://doi.org/10.1007/s11864-018-0581-6>
7. Arber, D. A., & Orazi, A. (2019). Update on the pathologic diagnosis of chronic myelomonocytic leukemia. In *Modern Pathology* (Vol. 32, Issue 6, pp. 732–740). Nature Publishing Group. <https://doi.org/10.1038/s41379-019-0215-y>
8. Lynch DT, Hall J, Foucar K. How I investigate moncytosis. *Int J Lab Hematol*. 2018;40(2):107–14.
9. Sangiorgio VF, Arber DA, Orazi A. How I investigate chronic myelomonocytic leukemia. *Int J Lab Hematol*. 2020;42(2):101–8.
10. Itzykson R, Fenaux P, Bowen D, Cross NCP, Cortes J, De Witte T, et al. Diagnosis and Treatment of Chronic Myelomonocytic Leukemias in Adults. *HemaSphere*. 2018;2(6):e150.
11. Patnaik MM, Lasho TL, Vijayvargiya P, Finke CM, Hanson CA, Ketterling RP, et al. Prognostic interaction between ASXL1 and TET2 mutations in chronic myelomonocytic leukemia. *Blood Cancer J* [Internet]. 2016;6(1):e385-5. Available from: <http://dx.doi.org/10.1038/bcj.2015.113>
12. Padron, E., Garcia-Manero, G., Patnaik, M. M., Itzykson, R., Lasho, T., Nazha, A., Rampal, R. K., Sanchez, M. E., Jabbour, E., al Ali, N. H., Thompson, Z., Colla, S., Fenaux, P., Kantarjian, H. M., Killick, S., Sekeres, M. A., List, A. F., Onida, F., Komrokji, R. S., Solary, E. (2015). An international data set for CMML validates prognostic scoring systems and demonstrates a need for novel prognostication strategies. *Blood Cancer Journal*, 5(7). <https://doi.org/10.1038/bcj.2015.53>
13. Cervera, N., Itzykson, R., Coppin, E., Prebet, T., Murati, A., Legall, S., Vey, N., Solary, E., Birnbaum, D., & Gelsi-Boyer, V. (2014). Gene mutations differently impact the prognosis of the myelodysplastic and myeloproliferative classes of chronic myelomonocytic leukemia. *American Journal of Hematology*, 89(6), 604–609. <https://doi.org/10.1002/ajh.23702>

# Referenties

14. Ricci, C., Fermo, E., Corti, S., Molteni, M., Faricciotti, A., Cortelezzi, A., Deliliers, G. L., Beran, M., & Onida, F. (2010). RAS mutations contribute to evolution of chronic myelomonocytic leukemia to the proliferative variant. *Clinical Cancer Research*, 16(8), 2246–2256. <https://doi.org/10.1158/1078-0432.CCR-09-2112>
15. Schillinger F, Sourdeau E, Boubaya M, Baseggio L, Clauser S, Cornet E, et al. A new approach for diagnosing chronic myelomonocytic leukemia using structural parameters of Sysmex XNTM analyzers in routine laboratory practice. *Scand J Clin Lab Invest* [Internet]. 2018 Apr 3;78(3):159–64. Available from: <https://doi.org/10.1080/00365513.2018.1423702>
16. Kocaturk E, Kusku Kiraz Z, Uskudar Teke H, Demir SS, Alatas IO. A new approach for diagnosing hematological malignancies using moncytosis workflow optimization and abnormal lymphocyte/blast flag of Sysmex XN series of blood count analyzers. *Int J Lab Hematol*. 2020;42(6):744–9.
17. Zhu J, Sourdeau E, Aubert H, Clauser S, Maillon A, Capron C, et al. A hierarchical approach in the diagnostic workflow of chronic myelomonocytic leukemia: Pivotal role of the “Mono-dysplasia-score” combined with flow cytometric quantification of monocyte subsets. *Int J Lab Hematol*. 2019;41(6):782–90.
18. Selimoglu-Buet D, Wagner-Ballon O, Saada V, Bardet V, Itzykson R, Bencheikh L, et al. Characteristic repartition of monocyte subsets as a diagnostic signature of chronic myelomonocytic leukemia. *Blood*. 2015;125(23):3618–26.
19. Hudson CA, Burack WR, Leary PC, Bennett JM. Clinical Utility of Classical and Nonclassical Monocyte Percentage in the Diagnosis of Chronic Myelomonocytic Leukemia. *Am J Clin Pathol*. 2018;150(4):293–302.
20. Tarfi S, Harrivel V, Dumezy F, Guy J, Roussel M, Mimoun A, et al. Multicenter validation of the flow measurement of classical monocyte fraction for chronic myelomonocytic leukemia diagnosis. *Blood Cancer J*. 2018;8(11):0–9.
21. razi A, Bennett JM, Germing U, et al., et al. Chronic myelomonocytic leukaemia. In: Swerdlow SH, ed. WHO Classification of Tumours of Haematopoietic and Lymphoid Tissues (Revised 4th ed.). Lyon, France: IARC; 2017:82–86.
22. Moncytosis workflow management – a smart solution. Sysmex. 2021.
23. <https://webappsa.riziv-inami.fgov.be/Nomen/nl/search>
24. N. Boeckx, Moncytosen, CMML en ASXL1, Laboratoriumgeneeskunde, UZ Leuven, 2016,

# Vragen?

**JESSA**  
ZIEKENHUIS